

ЧАСТОТЫ БЕТАТРОННЫХ КОЛЕБАНИЙ В ЕРЕВАНСКОМ СИНХРОТРОНЕ

С. К. ЕСИН, В. Ц. НИКОГОСЯН, А. Р. ТУМАНЯН

Приведены расчетные значения частот бетатронных колебаний пучка в электронном синхротроне на энергию 6 Гэв. Экспериментально определены зависимости частот бетатронных колебаний от различных параметров и режима работы ускорителя. Измерения частот проведены методом резонансного разрушения ускоряемого пучка при помощи высокочастотного магнитного поля.

По результатам типовых и калибровочных измерений параметров магнитного поля 48 блоков электромагнита Ереванского электронного синхротрона на энергию 6 Гэв [1, 2] рассчитаны ожидаемые частоты бетатронных колебаний. Расчет проведен на ЭВМ по выражениям [3], которые позволяют вычислить поправку к частоте бетатронных колебаний, вызванную отклонением градиента и поля в блоках от проектного значения. Результаты этого расчета для трех значений индукции в электромагните приведены в табл. 1, где $M\nu$ —число бетатронных колебаний на одном обороте.

Таблица 1

B (тс)	66	4000	8000
$M\nu_r$	5,300	5,325	5,310
$M\nu_z$	5,313	5,317	5,319

Для определения поправки к частоте бетатронных колебаний, вызванной отклонением частоты $f_{\text{уск}}$ ускоряющего поля в резонаторах от проектного значения, воспользуемся зависимостью частоты бетатронных колебаний от амплитуды синхротронных колебаний при наличии в магнитном поле квадратичной нелинейности [4]:

$$M\nu_i = \left(\frac{l}{2\pi}\right)^2 \frac{(-1)^{i-1}}{4\pi} \frac{\Delta p}{p} \int_0^{2\pi M} |\psi|^2 \left[\frac{\partial^2 H}{\partial r^2} \psi + \frac{n}{p^2} \right] d\theta. \quad (1)$$

Произведя интегрирование в (1) и подставляя $\frac{\Delta p}{p} = -\frac{1}{\alpha} \frac{\Delta f_{\text{уск}}}{f_{\text{уск}}}$ (α —коэффициент уплотнения орбит), а также измеренные значения квадратичной нелинейности для трех уровней индукции [5], получим простые численные соотношения, приведенные в табл. 2.

Таблица

B (гс)	66	4000	8000
$M\Delta\nu_r$	$+ 208 \frac{\Delta f_{\text{уск.}}}{f_{\text{уск.}}}$	$+ 258 \frac{\Delta f_{\text{уск.}}}{f_{\text{уск.}}}$	$+ 493 \frac{\Delta f_{\text{уск.}}}{f_{\text{уск.}}}$
$M\Delta\nu_z$	$+ 103 \frac{\Delta f_{\text{уск.}}}{f_{\text{уск.}}}$	$+ 80 \frac{\Delta f_{\text{уск.}}}{f_{\text{уск.}}}$	$- 136 \frac{\Delta f_{\text{уск.}}}{f_{\text{уск.}}}$

Для экспериментального определения частот поперечных колебаний было использовано устройство, обеспечивающее резонансную раскачку колебаний высокочастотным магнитным полем [6]. Резонанс имеет место при частотах возмущающей силы

$$f_{\Gamma_1} = f_0 (nM\nu - k), \quad (2)$$

$$f_{\Gamma_2} = f_0 (k - nM\nu), \quad (3)$$

где k и n —целые числа.

Погрешность в определении резонансного значения $M\nu$ можно оценить по следующей формуле:

$$\Delta M\nu = \frac{M \left(\frac{l}{2\pi} \right)}{ct}, \quad (4)$$

где M —число периодов магнитной структуры, l —длина одного периода магнитной структуры (измеренная в м), c —скорость света (в м/сек), t —время действия возмущения (в сек).

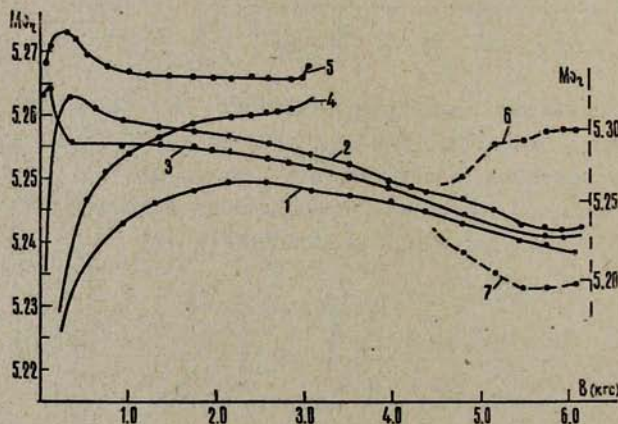


Рис. 1

Возбуждающее магнитное поле создавалось ферритовым магнитом, имеющим обмотку с числом витков 20. Азимутальная длина магнита—40 см. Неоднородность поля магнита такова, что радиальная

составляющая напряженности магнитного поля равна $H_r = 0,2 H_z$ (в основном, за счет краевых полей). При мощности питающего генератора в 8 квт вертикальная составляющая напряженности поля H_z равна 40 э.

Генератор возбуждающего тока был сконструирован таким образом, чтобы перекрыть диапазон частот $100 - 1100 \text{ кгц}$. Это позволяло возбуждать резонансы с различными номерами n . Оконечный каскад генератора, построенный на лампах ГУ-80, работал в импульсном режиме. Длительность генерируемой пачки ВЧ колебаний регулировалась в пределах $50 - 500 \text{ мксек}$.

Магнит был установлен в прямолинейном промежутке между фокусирующими полублоками. Оконечный каскад генератора ВЧ-тока располагался в подвале кольцевого туннеля синхротрона, а задающий генератор — на главном пульте управления.

На рис. 1 представлены результаты измерения M_{v_r} . Кривая 1 соответствует случаю отсутствия какой-либо коррекции градиента

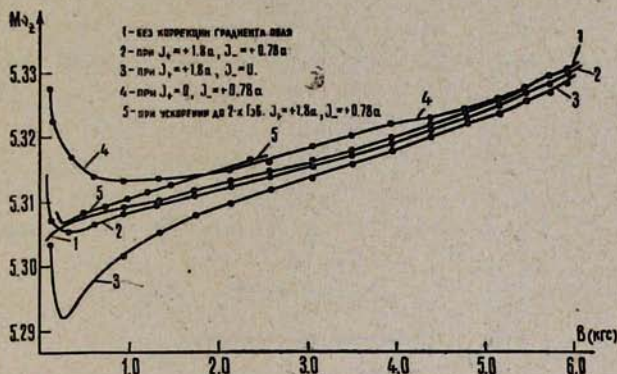


Рис. 2

поля. Расчетные значения M_{v_r} , приведенные в табл. 1, отличаются от соответствующих значений кривой 1 примерно на постоянную величину. Кривая 2 показывает изменение M_{v_r} по циклу ускорения при питании полюсных градиентных обмоток [7] токами $J_+ = +1,8 \text{ а}$ и $J_- = 0$, а кривая 3 — $J_+ = +1,8 \text{ а}$ и $J_- = +0,78 \text{ а}$ (J_+ и J_- — токи в обмотках, расположенных соответственно в фокусирующей и дефокусирующей частях магнита). Расчетные значения поправок к частотам бетатронных колебаний при питании градиентных обмоток постоянным током и с учетом данных калибровки обмоток определяются выражениями

$$\Delta M_{v_r} = (0,13 J_+ - 0,05 J_-) \frac{66}{B}, \quad (5)$$

$$\Delta M_{v_s} = (0,11 J_- - 0,06 J_+) \frac{66}{B}. \quad (6)$$

При питании квадрупольных линз, расположенных в шести прямолинейных промежутках между фокусирующими полублоками, импульсным током с амплитудой $J_{\lambda+} = +80 \text{ a}$ изменение частоты бетатронных колебаний описывается кривой 6, а при токе $J_{\lambda+} = -80 \text{ a}$ — кривой 7. Расчетные значения поправок к частотам бетатронных колебаний при питании квадрупольных линз импульсным током вычисляются по формулам

$$\Delta M\nu_r = 0,346 \cdot 10^{-2} \frac{J_{\lambda+} (\text{a})}{E (\text{Гэв})}, \quad (7)$$

$$\Delta M\nu_z = 0,108 \cdot 10^{-2} \frac{J_{\lambda+} (\text{a})}{E (\text{Гэв})}. \quad (8)$$

Кривая 4 (без коррекции градиента поля) и кривая 5 ($J_+ = +1,8 \text{ a}$, $J_- = +0,78 \text{ a}$) на рис. 1 характеризуют изменение частот бетатрон-

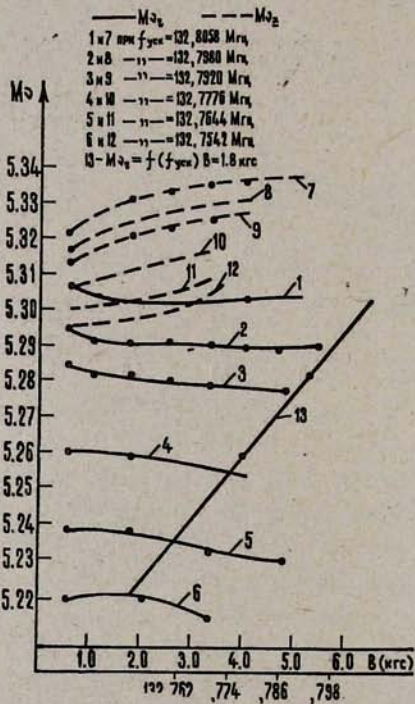


Рис. 3

ных колебаний при ускорении частиц до конечной энергии, равной 2 Гэв . В этом режиме скорость роста напряженности магнитного поля в средней части цикла ускорения почти в два раза меньше скорости поля при ускорении до $4,5 \text{ Гэв}$, а скорость поля при инжекции в обоих режимах одинакова. Это приводит к сдвигу частот радиальных колебаний (в среднем $\Delta M\nu_r = 0,012$).

Характерные кривые изменения частот вертикальных бетатронных колебаний при некоторых режимах работы синхротрона приведены на рис. 2. Эти кривые достаточно хорошо совпадают с расчетными значениями, приведенными в табл. 1.

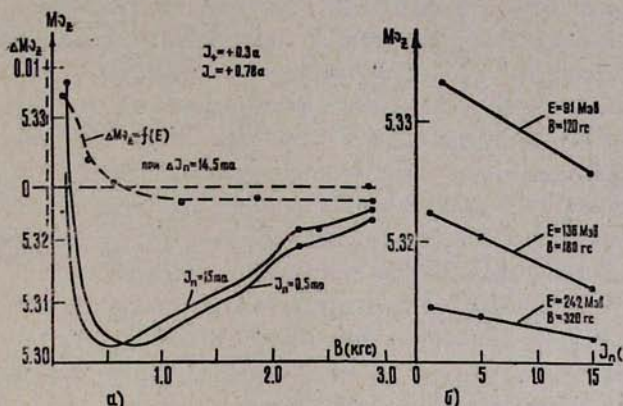


Рис. 4

Поведение частот бетатронных колебаний при изменении частоты ускоряющего поля в резонаторах дают кривые на рис. 3. Изменения M_{v_z} в достаточной степени соответствуют расчетным значениям, определенным по выражениям табл. 2. Точность определения M_{v_z} во всех измерениях составляла $\Delta M_{v_z} \lesssim 0,001$ при времени действия взаимодействующего поля $100+500$ мксек.

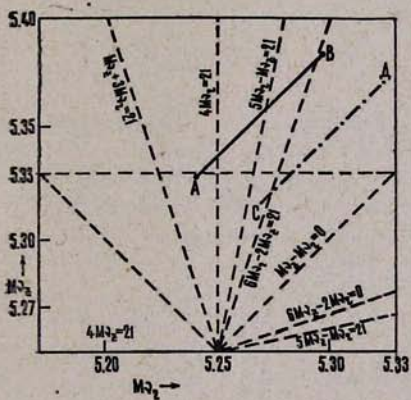


Рис. 5

Согласно теоретическим представлениям частота вертикальных бетатронных колебаний должна смещаться из-за взаимодействия пространственного заряда со стенками вакуумной камеры и полюсами магнита. Это утверждение было подвергнуто экспериментальной проверке. На рис. 4 представлены кривые изменения частоты вертикальных колебаний в зависимости от интенсивности и энергии ускоряемо-

го пучка. Измерения частот проведены в режиме ускорения частиц до конечной энергии, равной 2 Гэв. Из рисунка видно, что при малых энергиях зависимость частоты вертикальных колебаний от величины тока ускоряемого пучка достаточно линейна (прямые на рис. 4б).

Рабочая точка на диаграмме бетатронных колебаний в конце цикла ускорения находится в точке А (при режиме ускорения частиц до конечной энергии 4,5 Гэв, а точка С—при режиме ускорения до 2 Гэв, рис. 5). При выводе электронов синхротрона число радиальных бетатронных колебаний смещается к значению 5,333 с помощью импульса тока в квадрупольных линзах, упомянутых выше. При этом рабочая точка пересекает несколько линий различных резонансов, что может привести к уменьшению эффективности вывода пучка, неравномерности растяжки или нежелательному увеличению эмиттанса.

В связи с вышесказанным представляется целесообразным в дальнейшем подвижкой фокусирующих полублоков от центра, а дефокусирующих полублоков к центру ускорителя на одинаковую величину 2 мм выбрать более удобную исходную точку В на диаграмме устойчивости.

В заключение авторы выражают благодарность Ю. Ф. Орлову за обсуждение результатов и интерес к работе, Г. А. Кошечяну за наладку оборудования и помочь в работе, Л. О. Карапетяну за изготовление генератора, В. И. Коваленко и А. А. Маркаряну за помощь в работе.

Ереванский физический
институт

Поступила 7. VIII. 1972

ЛИТЕРАТУРА

1. Ю. Г. Абагян, А. И. Алиханян и др. Труды международной конференции по ускорителям заряженных частиц, Дубна, 1963, Атомиздат, М., 1964, стр. 235.
2. С. К. Есин, А. Р. Туманян и др. Труды Всесоюзного совещания по ускорителям заряженных частиц, том 1, стр. 200, Атомиздат, 1970.
3. С. К. Есин, Автореферат диссертации, Дубна, 1970.
4. Ю. Ф. Орлов. ПТЭ, № 2 (1959).
5. Б. Н. Жуков. Сб. Электрофизическая аппаратура, вып. 7, Атомиздат, М., 1969.
6. С. К. Есин. Изв. АН АрмССР, Физика, 3, 342 (1968).
7. О. А. Гусев и др. Труды Всесоюзного совещания по ускорителям заряженных частиц, том 1, стр. 221, Атомиздат, 1970.

ԲԵՏԱՏՐՈՒՆԱՅԻՆ ՏԱՏԱԿԱՆԱՆ ՀԱՅԱԽՈՒԹՅՈՒՆՆԵՐԸ ԵՐԵՎԱՆԻ
ՍԻՆՔՈՏՐՈՒՆՈՒՄ

Ս. Կ. ԵՍԻՆ, Վ. Ի. ԿՈՎԱԼԵՆԿՈ, Ա. Ա. ՄԱՐԿԱՐՅԱՆ

Բերված են 6 գէվ էներգիայով էլեկտրոնային սինխրոտրոնում փնջի բետատրոնային տառանձման հաճախության հաշվարկային նշանակությունները. Փորձնականորեն որոշված է

բետատրոնային տատանման հաճախության կախվածությունը արագացուցիչի տարրեր պայմաններից և աշխատանքային ռեժիմներից։ Հաճախության չափումը կատարված է արագացվող փնջի ռեզոնանսային քայլայման մեթոդով, բարձր հաճախության մագնիսական դաշտի օգնությամբ։

BETATRON OSCILLATION FREQUENCIES AT YEREVAN SYNCHROTRON

S. K. YESIN, V. S. NIKOGOSSIAN, A. R. TUMANIAN

The calculated values of betatron oscillation frequencies at 6 GeV electron synchrotron are given. The dependences of the frequencies on different parameters and regime of operation of synchrotron were measured. The method of measurement was a resonance destruction of accelerated beam by means of RF magnetic field.